

АКАДЕМИЯ НАУК СССР СИБИРСКОЕ ОТДЕЛЕНИЕ
ИНСТИТУТ ЯДЕРНОЙ ФИЗИКИ

препринт 271

Б.А.Баклаков, М.М.Карлинер, Б.В.Левичев,
А.С.Медведко, И.Я.Протонопов

УСТРОЙСТВО ДЛЯ ПРЕЦИЗИОННЫХ
ИЗМЕРЕНИЙ МАГНИТНОГО ПОЛЯ
В ЭЛЕКТРОМАГНИТЕ НАКОПИТЕЛЯ

Ответственный за выпуск Медведко А.С.

Подписано в печати 30 - 1 - 1969 г.

Уфа, 0,6 листа, формат 320 мм,

бумага № 271 - . Квадраты.

Опечатано на репродукторе ГИФ СО АН СССР, Уф.

Новосибирск
1969

Б.А.Баклаков, М.М.Карлинер, Б.В.Левичев,

А.С.Медведко, И.Я.Протопопов

(1,5-2) $\times 10^6$ калорий/кг на 100 калорий исходного топлива

УСТРОЙСТВО ДЛЯ ПРЕЦИЗИОННЫХ ИЗМЕРЕНИЙ МАГНITНОГО ПОЛЯ В ЭЛЕКТРОМАГНИТЕ НАКОПИТЕЛЯ

В настоящем изложении разработано устройство для измерения магнитного поля в камере накопителя с помощью измерительных элементов датчиков Холла.

АННОТАЦИЯ

Для выполнения большого объема прецизионных магнитных измерений на накопителе ВЭПП-3 создана автоматическая изме-

рительная система. В качестве измерительных элементов исполь-
зуются 15 датчиков Холла, равномерно (3 x 5) распределенных

по сечению камеры накопителя. Датчики поочередно подключают-
ся к измерительному усилителю с цифровым вольтметром на вы-

ходе. Результаты измерений автоматически наносятся на перфо-
ленту, служащую для ввода в вычислительную машину "Минск-22".

Погрешность измерений не превышает $\pm (3-5).10^{-4}$.

Быстро-вспомогательные машины

Минск-22 (перфокарты)

Измерительная погрешность
изменения индукции (%,град/с)

Назначительность при работе
видеомагнитофона (мк)

Логинов В.Б., Овчинников М.М., Аксандров А.В.

Болотова Г.Н., Овчинникова Г.С.

ЗАМЕРЫ ПОЛЕЙ КИМНОНДИЧЕСКИХ РУД С ПОМОЩЬЮ
ВЛАТИПОКАН ЭТНИГАМ ОЧЕНЬ ДОБРОВОЛЬНО

К НАЧАЛУ

железистые кимновондиты либо отощеной магнитной шихты. Каждый измерительный блок содержит 6-ППСБ оптимальные для измерения потокомагнитных явлений в зоне изучения. Блоки измерения (6-ППСБ) соединены между собой коммутатором 61, который управляет работой измерительных блоков. Измерение проводится с помощью измерительных блоков 6-ППСБ, имеющих одинаковую рабочую площадь и чувствительность. Чувствительность измерительных блоков 6-ППСБ составляет $0.1 \text{ (5-8)} \pm 10^{-3}$ Гаусс на единицу измерения.

Изготовление и наладка электромагнита накопителя встречных электрон-позитронных пучков ВЭПП-3 /1/ требует примерно $(1,5-2) \times 10^6$ измерений магнитного поля (в пределах 3 - 20 кгс). Погрешность этих измерений не должна превышать $\pm 10^{-3}$. Необходимость в применении автоматической измерительной системы с последующей обработкой результатов на ЭВМ для решения по-добной задачи очевидна.

Ниже описывается разработанная в ИЯФ СО АН СССР измерительная система, использующая в качестве измерительных элементов датчики Холла. Последние удобны тем, что обеспечивают возможность непосредственных измерений с отсчетом по цифровому вольтметру; кроме того, они могут работать в сильно неоднородных магнитных полях. Применение цифрового вольтметра позволяет получать результаты измерений на перфоленте, что облегчает их ввод в ЭВМ для последующей обработки.

В системе использованы датчики Холла, разработанные в Институте полупроводников АН СССР (Ленинград). Их типовые параметры приведены в таблице 1.

Таблица 1

Тип материала	Арсенид индия
Рабочая площадь датчика (мм^2)	$1 \times 1,5$
Чувствительность ($\mu\text{вб/ма эрст}$)	$0,4 - 0,8$
Рабочий ток (ма)	до 50
Входное сопротивление (ом)	20 - 150
Выходное сопротивление (ом)	20 - 150
Температурный коэффициент чувствительности (%/град.С)	$0,05 - 0,3$
Неэквипотенциальность при токе 50 ма (не более) (мв)	± 3

Измерения производятся с помощью 15 датчиков, равномерно размещенных по сечению камеры магнита (см.рис.1).

Датчики измеряют вертикальную (H_z) компоненту магнитного поля. Шестнадцатый датчик измеряет радиальную компоненту поля в центре сечения камеры.

Датчики имеют нелинейную зависимость эдс от величины поля (нелинейность 2-3% при поле до 20 кгс) и требуют градуировки, которая производится в специально сконструированном магните с неоднородностью поля не менее $\pm 5 \cdot 10^{-5}$ в области размещения блока датчиков. При этом поле контролируется с помощью ядерного магнитометра.

После сборки блока датчиков в специальных магнитах измерялись координаты магнитного центра каждого датчика и углы наклона датчиков относительно базовых плоскостей.

Данные градуировки и измерения координат и углов используются при обработке результатов измерений на ЭВМ /2/.

При измерениях блок датчиков может быть перемещен в любое сечение магнита с необходимой точностью с помощью направляющих, закладываемых в магнит на время измерений.

Блок датчиков Холла помещен в термостат, представляющий собой коробку, с внутренней стороны которой бифилярно уложены медная и константановая обмотки, служащие нагревательными элементами. Обе обмотки включены в схему моста в цепи положительной обратной связи автогенератора, в состав которого входит также избирательный усилитель мощности (см.схему рис.2).

В установившемся режиме мост близок к балансу, который имеет место при определенном сопротивлении медной обмотки (и, следовательно, при определенной ее температуре). При изменении окружающей температуры изменяется мощность на выходе усилителя таким образом, что температура остается постоянной. В рабочем диапазоне окружающей температуры от + 10°C до + 30°C температура датчиков изменяется менее, чем на 1°C. Частота нагревающего тока около 800 Гц, максимальная мощность на выходе усилителя - 8 вт.

Блок-схема измерительного устройства приведена на рис.3. Все датчики (1) по цепи питания соединены последовательно

и питаются от одного источника (3), обеспечивающего стабильность тока порядка $\pm (2 \div 3) \cdot 10^{-4}$ в течение длительного времени.

Выходы датчиков с помощью коммутатора (4) поочередно присоединяются к прецизионному усилителю постоянного тока (6). Входная схема с контактами коммутирующих реле и потенциометрами для компенсации эдс неэвипотенциальности электродов датчиков показана на рис.4.

Включение n -го датчика осуществляется при замыкании двух контактов реле N_p . Для коммутации применены реле типа РМУГ, контакты которых обеспечивают величину термо-эдс менее 5 мкв при температуре до + 40°C.

Компенсация эдс неэвипотенциальности осуществляется потенциометрами R_p для каждого датчика отдельно.

Усилитель постоянного тока выполнен по схеме с преобразованием постоянного тока в переменный с помощью электромеханического прерывателя. Дрейф усилителя, отнесенный ко входу, не превышает ± 5 мкв за 10 часов. Усилитель охвачен глубокой отрицательной связью. Коэффициент усиления изменяется с помощью переключателя и может принимать значения 10; 16; 25; 40; 60; 100; 160, что позволяет полностью использовать точность цифрового вольтметра. Нестабильность коэффициента усиления не превышает $(2 \div 5) \cdot 10^{-4}$, нелинейность амплитудной характеристики составляет 10^{-4} при выходном напряжении до 12 в и токе до 5 ма. Время установления напряжения на выходе с точностью 10^{-3} от установленного значения не превышает 0,2 сек.

Для измерения напряжения на выходе усилителя постоянного тока используется цифровой вольтметр (7) типа Щ1511. Результат измерения, получаемый в виде параллельного кода, подается через преобразователь кода на перфоратор (9); после завершения цикла измерений результаты могут быть с помощью перфоленты введены в используемую для обработки ЭВМ типа "Минск-22".

Автоматический цикл измерений при некотором положении блока датчиков включает запись нуля усилителя при закороченном входе, последовательный опрос всех датчиков, проверку коэффициента усиления усилителя и тока датчиков. Последняя заключа-

ется в том, что ко входу усилителя присоединяется эталонное сопротивление, включённое последовательно в цепь питания датчиков. Величина падения напряжения наносится на перфоленту и при обработке на ЭВМ позволяет исключить из результата измерения поля ток датчиков и коэффициент усиления усилителя /2/. Благодаря этому требования к стабильности тока датчиков и коэффициента усиления снижаются. Цикл измерения поля в одном сечении длится около 60 сек и определяется в основном быстродействием цифрового вольтметра. При окончании цикла блок датчиков автоматически перемещается в следующее сечение.

Порядок опроса датчиков и длительность рабочего цикла задаются блоком управления (10), который даёт команду переключения на коммутатор, сигнал запуска на цифровой вольтметр и сигнал на преобразователь кода для перфорации.

Описанная измерительная система обеспечивает точность измерения в каждой точке лучше 10^{-3} . Погрешность определяется, в основном, нестабильностью параметров датчиков Холла.

Благодаря избыточности информации, получаемой от 15 датчиков в каждом сечении, после обработки на ЭВМ общая точность значительно повышается /2/. Кроме того, повышается надёжность работы системы.

Л и т е р а т у р а

1. Н.А.Кузнецов и др. Магнитная система накопителя ВЭПП-3.
Доклад на Всесоюзном совещании по ускорителям заряженных
частиц. Москва, 1968 г.
 2. Б.В.Левичев и др. Магнитные измерения на накопителе ВЭПП-3,
Доклад на Всесоюзном совещании по ускорителям заряженных
частиц. Москва, 1968 г.

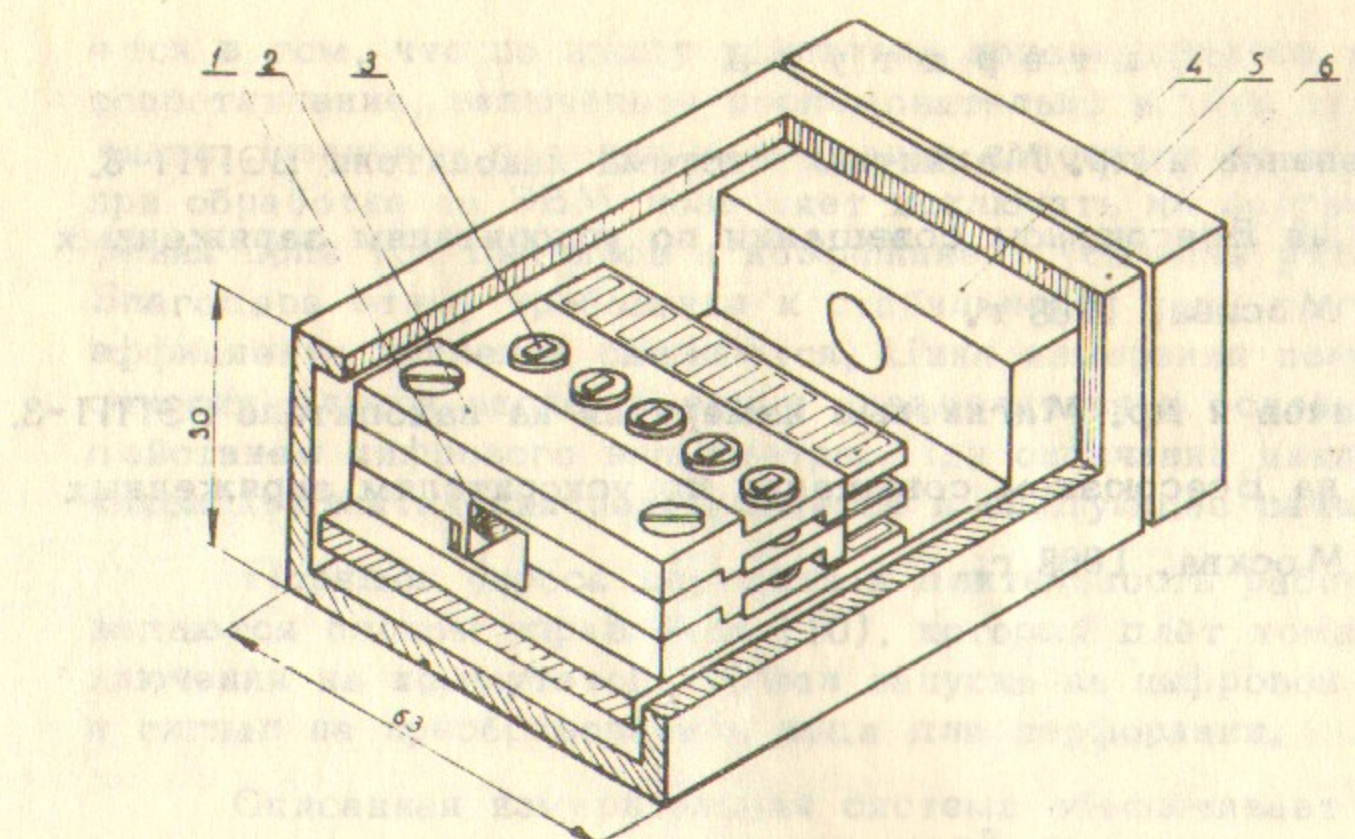


Рис.1. Общий вид блока датчиков Холла. 1 - датчик, измеряющий радиальную компоненту магнитного поля; 3 - датчик, измеряющий вертикальную компоненту магнитного поля; 4 - элемент несущей конструкции; 5 - лепестки для распайки датчиков; 6 - коробка термостата

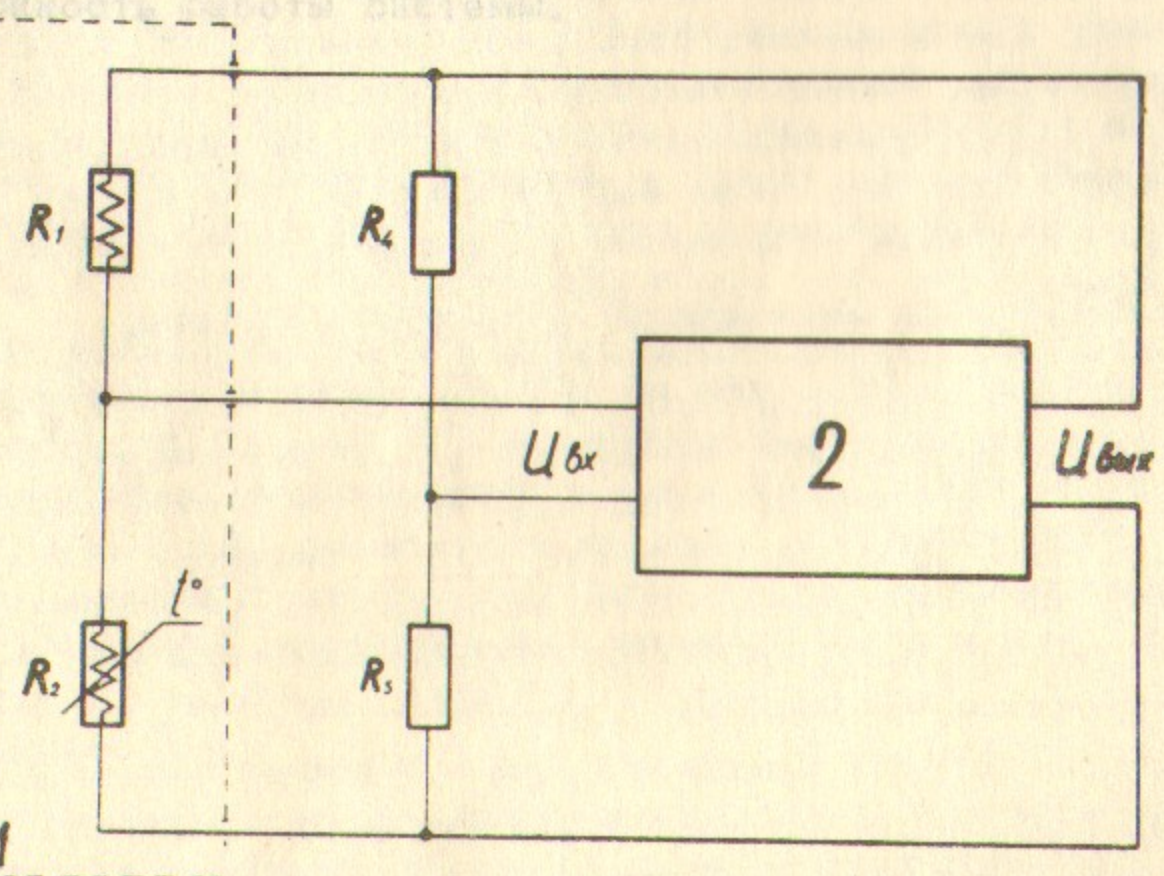


Рис.2. Блок-схема термостата. 1 - рабочий объём термостата; 2 - избирательный усилитель.

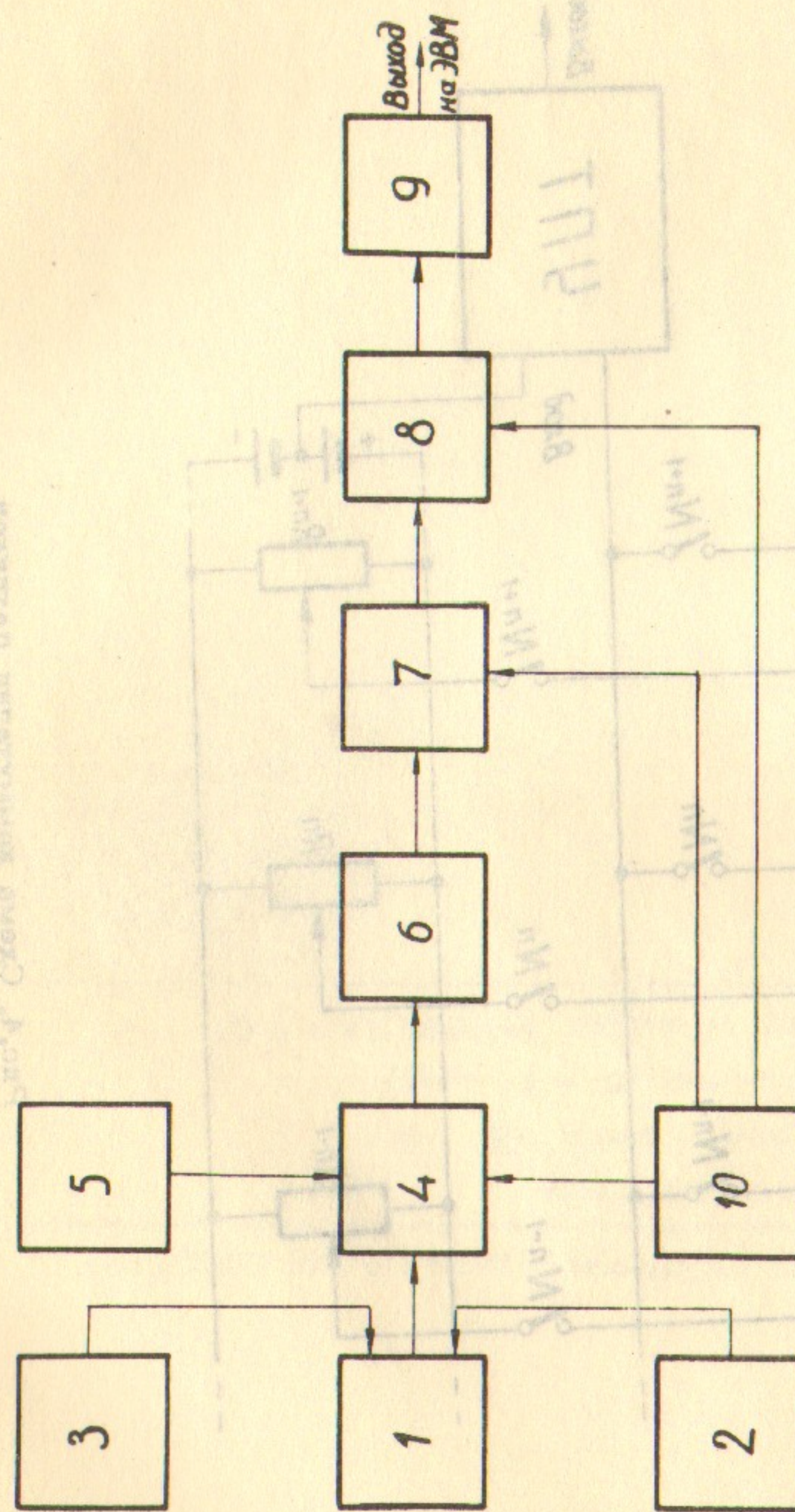


Рис.3. Блок-схема измерительного устройства. 1 - блок датчиков Холла; 2 - термостат; 3 - источник тока; 4 - коммутатор; 5 - схема компенсации ЭДС неэквивалентности датчиков; 6 - усилитель постоянного тока; 7 - цифровой вольтметр; 8 - преобразователь кода; 9 - перфограф; 10 - блок управления.

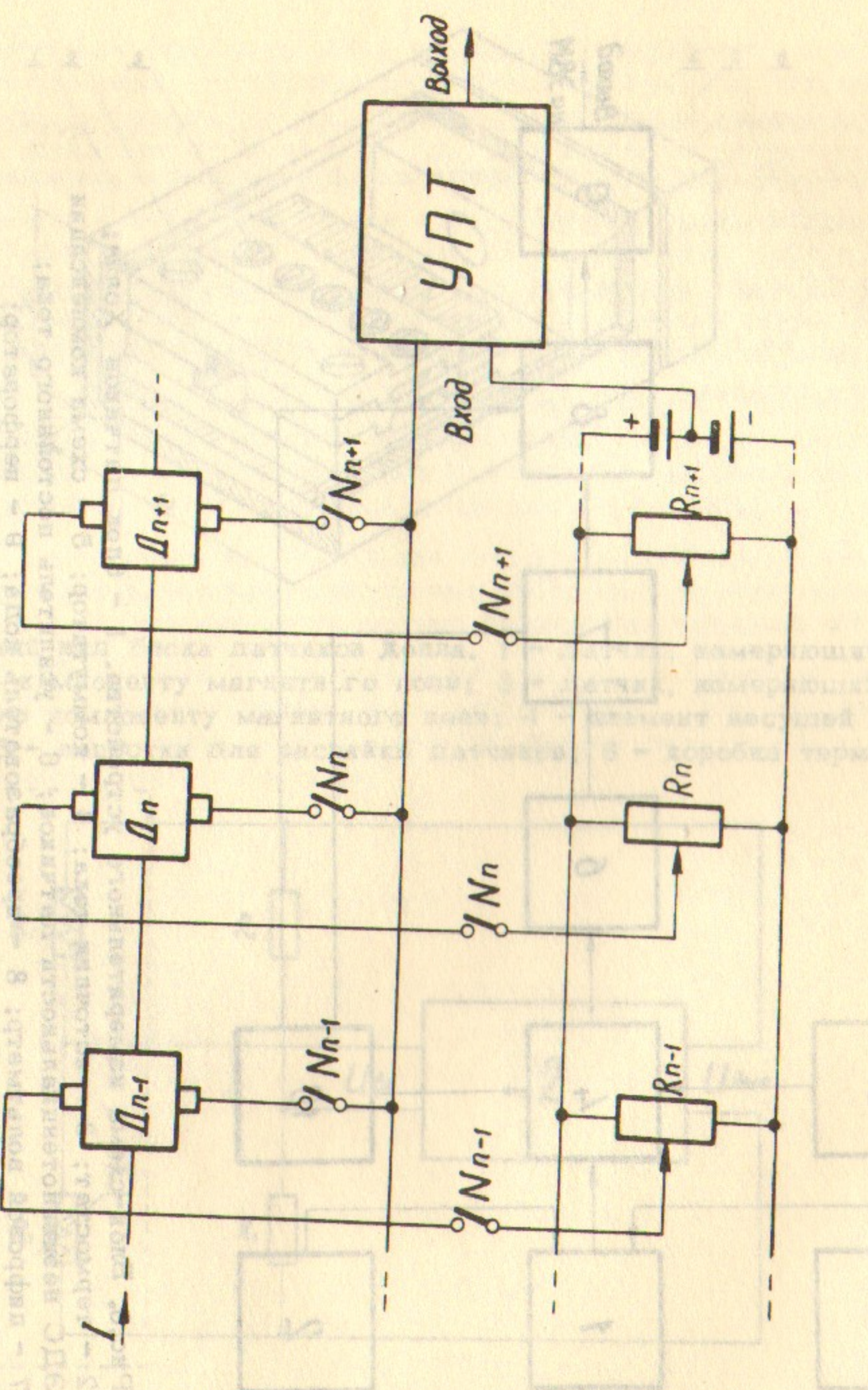
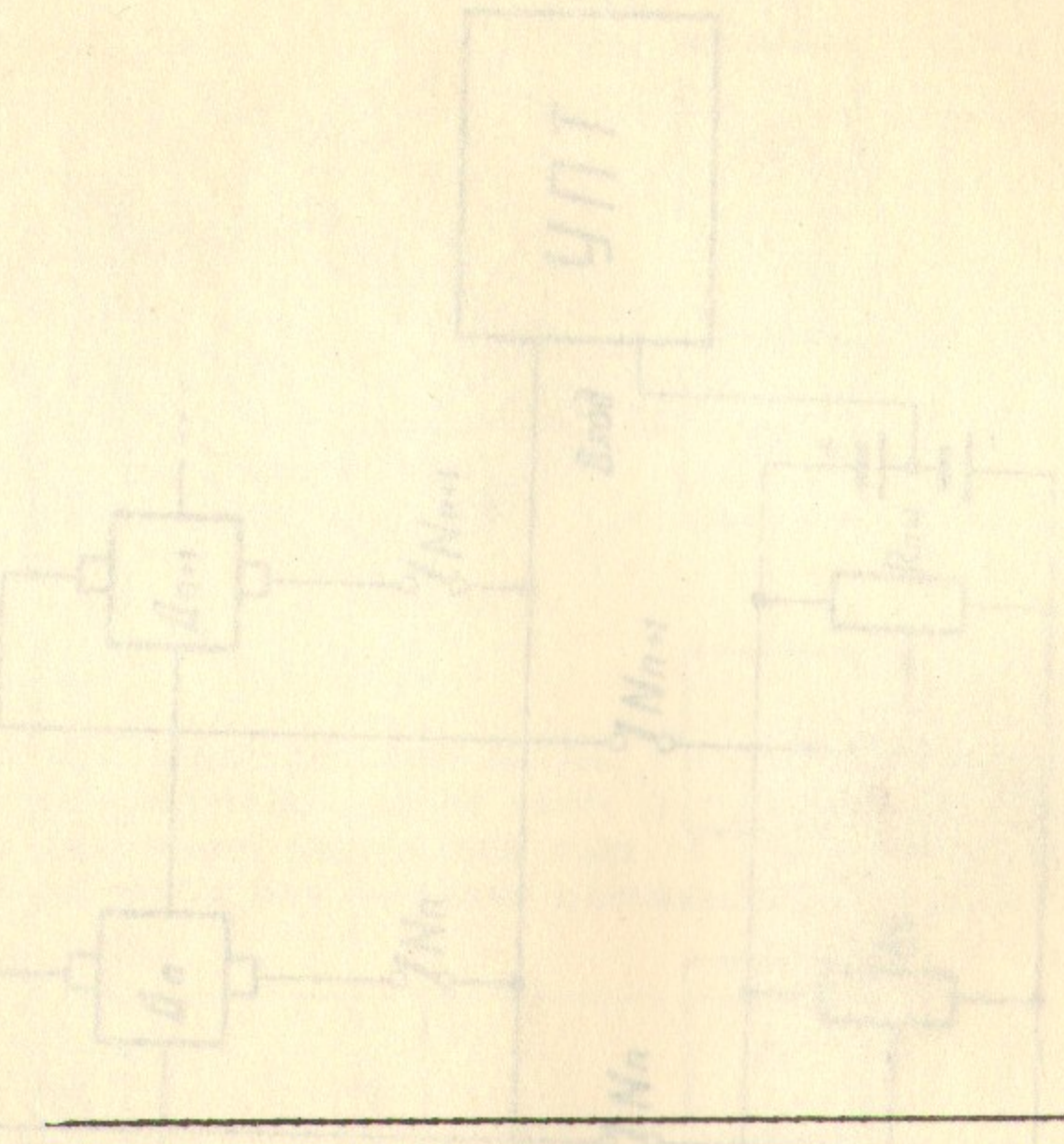


Рис.4. Схема коммутации датчиков.

Рис.2. Блок-схема топографии. 1 - рабочий сенсор; 2 - избирательный селектор.



Ответственный за выпуск МЕДВЕДКО А.С.

Подписано к печати 30. - 1 - 1969 г.

Усл. 0,5 печ.л., тираж 150 экз.

Заказ № 271 , бесплатно.

Отпечатано на ротапринте в ИЯФ СО АН СССР. ив.